

# تأثیر دمای تغییر شکل بر خواص مکانیکی فولادهای دو فازی فریتی - بیناییتی

محمد رضا اکبرپور (کارشناس)  
پژوهشگاه مواد و انرژی

علی اکبر اکرامی (استاد)  
دانشکده مهندسی و علم مواد، دانشگاه صنعتی شریف

در این تحقیق فولاد دوفازی فریتی - بیناییتی با کسرهای حجمی مختلف فریت از طریق عملیات حرارتی مناسب تهیه شد. این فولاد در محدوده دمایی  $25\text{--}50^\circ\text{C}$  درجه سانتی‌گراد تحت آزمایش کشش با آهنگ کرنش مختلف قرار گرفت. با تحلیل داده‌های منحنی‌های تشکیل کرنش برای این نوع فولاد مشاهده شد که تغییر شکل این فولاد در محدوده دمایی ذکر شده را می‌توان با استفاده از معادله هولمن به طور مناسب تقریب زد. علاوه بر این، وجود دو مرحله کارسختی برای این فولاد مشخص شد. همچنین تأثیر کسر حجمی فریت، تغییرات دما و آهنگ کرنش بر پارامترهای معادله هولمن بررسی شده است. نتایج حاصله بیانگر وجود حساسیت منفی به آهنگ کرنش و بیشینه کارسختی در محدوده دمایی متوسط اند که به عنوان نشانه‌های پیکرنشی دینامیکی شناخته می‌شوند. همچنین با پیش‌بینی سازوکار تغییر شکل برای این فولاد مشخص شد که آهنگ کارسختی در مرحله اول کارسختی بیشتر و باسته به کسر حجمی بینایت و در مرحله دوم و باسته به استحکام بینایت یا اختلاف استحکام دو فاز است.

mreza.akbarpour@gmail.com  
ekrami@sharif.edu

واژگان کلیدی: فولاد دوفازی، فریت، بینایت، کارسختی، آهنگ کرنش، پیکرنشی دینامیکی.

## مقدمه

- که در آن  $(d\epsilon/d\sigma)$  نزدیکی کار سختی است -- نشان‌دهنده میزان توانایی ماده در به تعویق انداختن موضعی شدن کرنش است. پارامتر  $n$  از دو لحاظ حائز اهمیت است: ۱.  $n$  نشان‌دهنده کرنش سختی یا کارسختی ماده است؛ هرقدر  $n$  زیاد باشد آهنگ کارسختی ماده بالاتر است. ماده‌بی که میزان  $n$  بالاتری دارد برای فرایند تغییر شکل ارجحیت دارد. مواد با قابلیت ماشین کاری خوب باید چقرمگی شکست پایین و ضربیت کارسختی کمی داشته باشند، در حالی که برای مواد ابرار عکس قضیه صادق است. ۲.  $n$  معیاری است برای کشیده شدن ماده در حین تغییر شکل. هرچه مقدار  $n$  زیادتر باشد ماده قابل از نایابیاری و گلوبی شدن تغییر شکل بیشتری می‌دهد. در کشنش فنجانی<sup>۱</sup> میزان بالای  $n$  باعث کاهش مقدار چین خوردگی در حین تغییر شکل و کارسختی زیاد در دیواره فنجان می‌شود. بنابراین هنگام افزایش نیروی نگدارنده ورق، ماده به راحتی نمی‌شکند؛ زیرا  $n$  برای کرنش حقیقی در استحکام کششی نهایی است و حد کرنش برای تغییر شکل یکنواخت است. این ثابت‌ها به طور گسترده برای ارزیابی رفتار ماده در کشنش و فشار تک محور در دمای اتاق<sup>۲</sup> و در دمای‌های بالا بررسی شده‌اند<sup>[۱-۶]</sup>. اما تعدادی از مواد -- نظیر فولادهای دوفازی -- دقیقاً از معادله هولمن پیروی نمی‌کنند. برای این مواد تغییرات  $Ln\sigma$  با  $Ln\epsilon$  غیرخطی است یعنی  $n$  و  $k$  نمی‌توانند رفتار جریان و رفتار کارسختی این مواد را به درستی نشان دهد<sup>[۷-۱۱]</sup>. توماس هوپر و همکارانش نیز

به منظور توسعه‌ی روابط نیمه تجربی برای بیان رفتار تغییر شکل مواد تلاش‌های زیادی صورت گرفته است. روابط پیشنهادی هولمن<sup>[۱]</sup>، لودویک<sup>[۲]</sup> و سویفت<sup>[۳]</sup> معمولاً برای بیان رفتار تنش حقیقی و کرنش حقیقی مواد مختلف به کار می‌روند. پارامترهای موجود در این معادلات برای ارزیابی سازوکارهای اساسی و تغییرات ریزساختاری ضمن تغییر شکل استفاده می‌شوند<sup>[۴]</sup>. به علاوه، برخی از پارامترهای این معادلات بیانگر و پیگری شکل پذیری ماده‌اند<sup>[۵]</sup>. رفتار خمیری بسیاری از مواد و آلیاژها با استفاده از رابطه‌ی ۱ (معادله هولمن) بیان می‌شود:

$$\sigma = K \epsilon^n \quad (1)$$

که در آن  $n$  توان کارسختی، و  $K$  ضربیت است. با ترسیم داده‌های تنش - کرنش در مقیاس لگاریتمی و تطبیق دادن آن با یک خط راست این پارامترها محاسبه می‌شوند. شبی خط  $n$  و عرض از مبدأ آن در  $\epsilon = 1$  برابر  $k$  است<sup>[۱]</sup>. در حالت عادی این دو پارامتر شکل منحنی جریان را مشخص می‌کنند. مقدار  $k$  معیاری است برای استحکام ماده و اندازه‌ی نیروی مورد نیاز برای شکل دهی، و مقدار  $n$  که واپسی به شبی منحنی تنش - کرنش است -  $n = (\epsilon/\sigma)(d\sigma/d\epsilon)$ . تاریخ: دریافت ۷/۱/۱۳۸۵، داوری ۲۶/۱۰/۱۳۸۶، پذیرش ۱۷/۶/۱۳۸۷.

رفتار برخی از فولادهای دوفازی را طی آزمایشات تجربی و روش اجزاء محدود بررسی کرده‌اند و دو مرحله کارسختی برای آنها قائل شده‌اند<sup>[۱۵]</sup>. برخی محققان نیز سه مرحله کارسختی را برای برخی فولادهای دوفازی مشاهده کرده‌اند که هر مرحله توصیف‌کننده‌ی تغییرات ساختار حین تغییر شکل است<sup>[۱۷,۱۶]</sup>. وجود مراحل مختلف کارسختی به خاطر فعل شدن سازوکارهای مختلف تغییر شکل در محدوده‌های کرشن مرتبط با هرکدام از مراحل از جمله ترتیب تغییر شکل فازها، نوع تغییر شکل (همگن یا ناهمگن)، میزان ناسازگاری خمیری، دگرگونی فازی ضمن تغییر شکل مثل دگرگونی آستنتیت باقیمانده به مارتنتیت و بازیابی است<sup>[۱۷-۱۸]</sup>. در این تحقیق داده‌های تجربی با دو معادله‌ی هولمن تطبیق داده می‌شود و تأثیر دما، کسر حجمی فریت و آهنگ کرشن بر پارامترهای معادله‌ی هولمن و نیز شکل پذیری ماده بررسی خواهد شد.

## مواد و کارهای تجربی

فولاد مورد استفاده در این تحقیق میله‌های فولاد AISI ۴۳۴۰ با ترکیب شیمیایی ارائه شده در جدول ۱ است. میله‌های فولادی را بعد از یکنواخت کردن (نرمالیزه کردن) و کسب ساختار ظریف، ابتدا در دمای ۹۲۰ درجه سانتی‌گراد به مدت ۱ ساعت نگهداری تا استنتیتی شوند. سپس آنها را مستقیماً به دمای بین بحرانی ۷۵۰ درجه سانتی‌گراد متقل، و برای کسب ساختار فریت - استنتیت به مدت زمان‌های متفاوت در این دما نگهداری شوند. پس از نگهداری در منطقه‌ی دوفازی فریت و استنتیت، نمونه‌ها سریعاً به حمام نمک با دمای ۳۵۰ درجه سانتی‌گراد متقل، و به مدت ۴۰ دقیقه در حمام نمک تحت دگرگونی باز پخت استنتیتی قرار گرفتند و نهایتاً در هوا تا دمای اتاق سرد شوند.

به منظور مطالعه‌ی ریزساختار نمونه‌های تهیه و با محلول ۲ درصد نیتال حکاکی<sup>۲</sup> شدن و از طریق تحلیل تصویری، کسر حجمی فازها تعیین شوند. نمونه‌های کششی مطابق با استاندارد ASTM E8M Tهیه، و تحت آزمایش کشش در محدوده‌ی دمای ۲۵-۵۰ درجه سانتی‌گراد با دستگاه کشش اینسیترون و با آهنگ‌های مختلف کرشن قرار گرفتند. تمامی نتایج ارائه شده در این نوشتار از آزمون کشش با آهنگ کرشن  $s / s = 4/6 \times 10^{-4}$  آورده شده است مگر جایی که مستقیماً ذکر شده باشد.

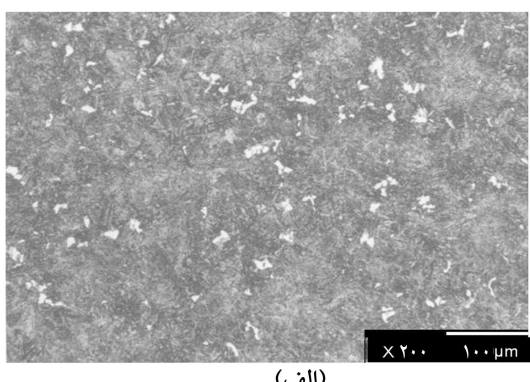
## نتایج و بحث

### ریزساختار

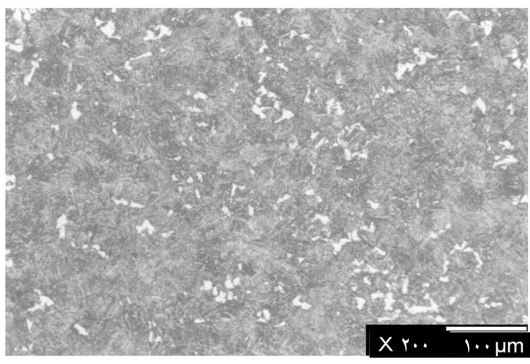
تصاویر میکروسکوپ نوری فولاد دوفازی مورد بررسی در شکل ۱ نشان داده شده است. کسر حجمی فریت در فولاد دوفازی به دست آمده با آنیل بین بحرانی در دمای ۷۵۰ درجه سانتی‌گراد به مدت زمان‌های ۳۰، ۶۰، ۸۰ دقیقه به ترتیب برابر ۳۵۰، ۲۲۸، ۰، ۱۱۳، ۰، ۲۲۸، ۰، ۳۴۱، ۰٪ درصد داده شده است.

جدول ۱. ترکیب شیمیایی فولاد بررسی (درصد وزنی).

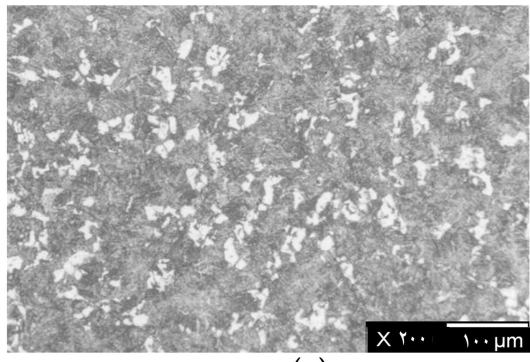
C	Si	Mn	P	S	Cr	Ni
۰,۴۴۲	۰,۲۹۲	۰,۷۲۲	۰,۰۲۴۴	۰,۰۱۰۴	۰,۷۸۲	۱,۸۴
Mo	Al	Co	Nb	Cu	V	Ti
۰,۲۴۶	۰,۰۲۷۶	۰,۰۱۳۶	۰,۰۰۱۳	۰,۲۶۳	۰,۰۰۲۷	۰,۰۰۲۵



(الف)



(ب)



(ج)

شکل ۱. ریزساختار فولاد دوفازی الف: ۱۱/۳٪ ب: ۲۲/۳٪ ج: ۳۴/۱٪ درصد حجمی فریت، در تصاویر فوق فریت به رنگ روشن و بینایت به رنگ تیره می‌باشد.

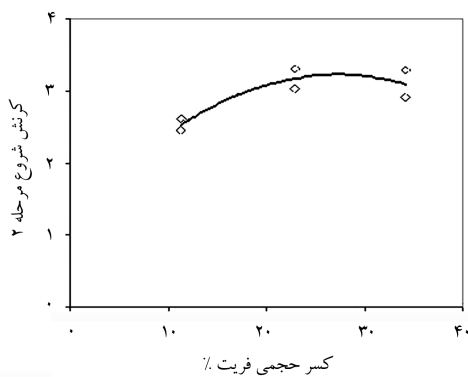
### کارسختی

مطالعاتی که اخیراً روی فولادهای دوفازی انجام شده نشان‌گر آن است که تنش جریان این مواد از معادله‌ی هولمن که معمولاً در تحلیل رفتار کارسختی مواد فلزی کاربرد دارد، پیروی می‌کنند. شکل ۲ منحنی تنش حقیقی-کرشن حقیقی در دمای ۳۵۰ درجه سانتی‌گراد (در مقیاس لگاریتمی) را برای فولاد دوفازی با درصدهای مختلف فریت نشان می‌دهد. همچنین شکل‌های ۳ الف و ۳ ب به ترتیب منحنی تنش حقیقی-کرشن حقیقی را برای فولاد مورد بررسی در درصدهای حجمی مختلف فریت و در دمایهای ۲۵ و ۳۵ درجه سانتی‌گراد (در مقیاس لگاریتمی) نشان می‌دهند. تغییرات غیرخطی  $\sigma_{ln}$  با  $ln$  نشان می‌دهد که یک معادله‌ی هولمن نمی‌تواند رفتار جریان این ماده را به طور دقیق نمایش دهد. دو معادله‌ی هولمن

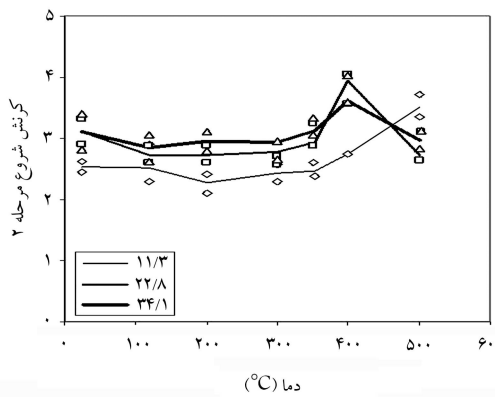
در همه‌ی دمایا و درصدهای مختلف فریت محاسبه، و تغییرات این پارامترها با افزایش کسر حجمی فریت، دما و آهنگ کرنش بررسی می‌شود.

## تأثیر کسر حجمی فریت و دما بر کرنش شروع مرحله‌ی دوم کارسختی

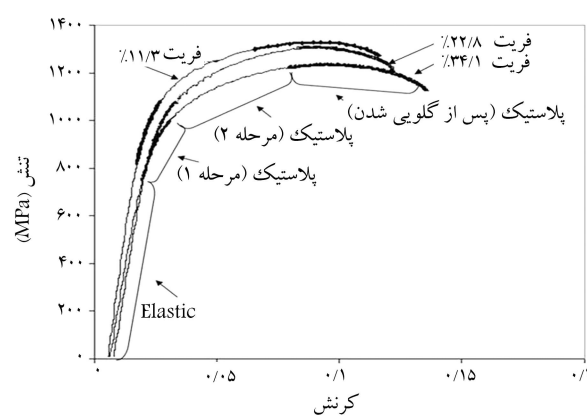
افزایش کرنش شروع مرحله دو کارسختی در دمای اتفاق در بی افزایش کسر حجمی فریت (شکل ۴) نشان‌گر افزایش انعطاف‌پذیری بر اثر افزایش کسر حجمی فریت درنتیجه‌ی افزایش پیوستگی آن است، اما در بالاتر از کسر حجمی ۲۲/۸ درصد فریت تغییرات آن ناچیز است. توزیع کرنش و تنش در فازهای مختلف بستگی به پارامترهای همچون درصد حجمی فازها، اختلاف استحکام دو فاز و اندازه‌ی ذرات هر فاز دارد. در درصدهای بالای فریت توزیع کرنش و تنش در فولادهای دوفازی تغییر می‌کند. می‌توان گفت که با افزایش درصد حجمی فاز سخت نسبت کرنش فاز سخت به کرنش فاز نرم افزایش می‌یابد<sup>[۱۸]</sup>. وجود درصد حجمی بالای بینایت در اختلاف استحکام معین فازها، موجب تغییر شکل بینایت در کرنش‌های ماکروسکوپی کمتر می‌شود. با افزایش دما، میزان کرنش شروع مرحله‌ی دوم کارسختی ابتداء کاهش، و سپس در محدوده‌ی دمایی متوسط تغییرات ناچیز و در دمایی بالاتر مجدد افزایش می‌یابد (شکل ۵). لازم به ذکر است که در دمای ۵۰°C درجه سانتی گراد



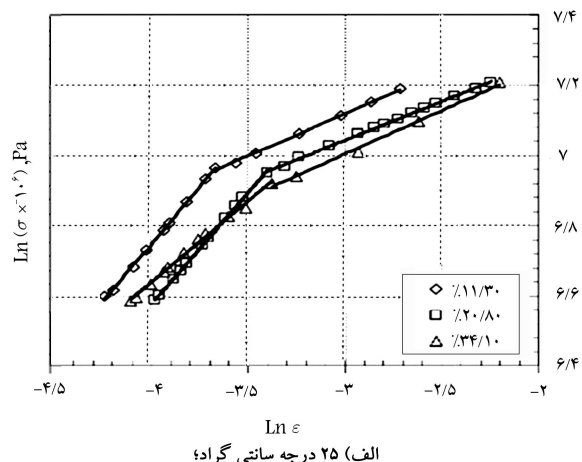
شکل ۴. تأثیر کسر حجمی فریت بر کرنش شروع مرحله‌ی دوم کارسختی در دمای اتفاق.



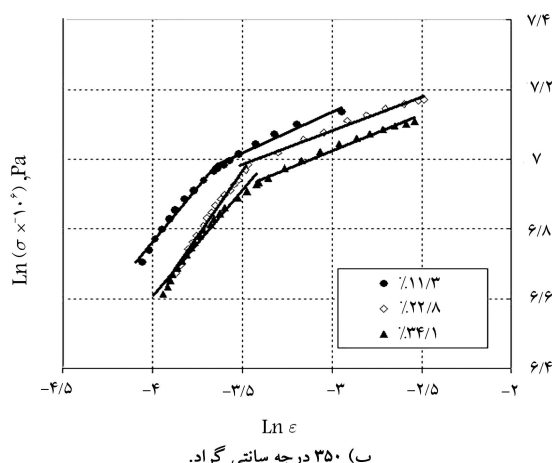
شکل ۵. تأثیر دما بر کرنش شروع مرحله‌ی دوم کارسختی در درصدهای مختلف فریت.



شکل ۲. منحنی تنش حقیقی-کرنش حقیقی فولاد دوفازی با درصدهای حجمی مختلف فریت در دمای ۳۵°C درجه سانتی گراد.



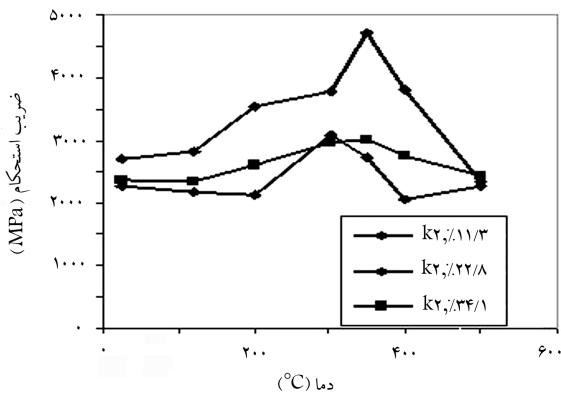
الف) ۲۵ درجه سانتی گراد؛



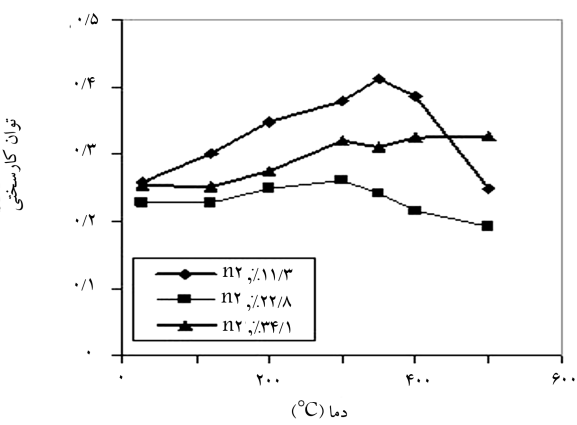
ب) ۳۵ درجه سانتی گراد.

شکل ۳. منحنی تنش حقیقی-کرنش حقیقی در مقایسه لگاریتمی در درصدهای حجمی مختلف فریت.

حاصل از داده‌های تجربی به صورت دو خط راست در مقایسه لگاریتمی با تطابق مناسب، برای نمایش منحنی‌های تنش و کرنش در همه‌ی دمایا کاربرد دارد. لذا دو مرحله‌ی کرنش سختی برای این مواد پیش‌بینی می‌شود. پارامترهای معادله‌ی هولمن (n) و (k) در هردو مرحله‌ی کارسختی با تطبیق داده‌های تجربی با دو معادله‌ی هولمن



شکل ۸. تأثیر دما بر ضریب استحکام در مرحله‌ی دوم کارسختی در درصدهای حجمی مختلف فربت.



شکل ۹. تأثیر دما بر توان کارسختی در مرحله‌ی دوم کارسختی در درصدهای مختلف فربت.

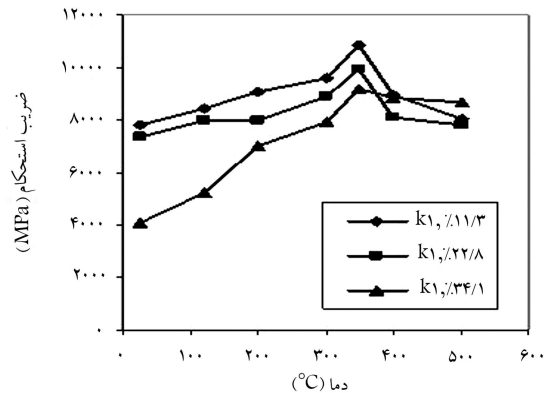
**تأثیر آهنگ کرنش بر توان کارسختی و ضریب استحکام**

تأثیر آهنگ کرنش بر پارامترهای معادله‌ی هولمن برای این فولاد در کسر حجمی فربت ۳/۴، ۱ درصد در دماهای ۱۰۰، ۳۵۰ و ۵۰۰ درجه سانتی‌گراد مورد بررسی قرار گرفته است. رفتار تنش و کرنش فولادهای دوفازی با یک رابطه‌ی هولمن قبل بیان نیست و این مسئله در دماهای بالاتر حادتر می‌شود؛ اما مشخص شد با به کار بردن دو معادله‌ی هولمن در بیان رفتار جریان در دماهای بالاتر به خوبی می‌توان رفتار کارسختی را تا شروع گلوبی در نمونه با خطای کمتری بیان کرد. تأثیر آهنگ کرنش بر رفتار تغییر شکل در پارامترهای معادله‌ی هولمن نهفته است. تغییرات این پارامترها با آهنگ کرنش در دماهای گفته شده در جدول ۲ ارائه شده است. مشاهده می‌شود که این تغییرات در دماهای ۱۵۰ و ۵۰۰ درجه سانتی‌گراد، و با افزایش آهنگ کرنش، افزایش می‌یابد. در این دماها حساسیت مشبت به آهنگ کرنش مشاهده می‌شود، و بنابراین میزان توان کارسختی و ضریب استحکام هر دو تابعی از آهنگ کرنش است. این تغییرات با برهم‌کنش پیچیده‌ی اتم‌های محلول موجود در این فولاد در دماها و آهنگ‌های کرنش متفاوت، از جمله بازیابی، مرتبط است. در دمای ۳۵۰ درجه سانتی‌گراد، این پارامترها با افزایش آهنگ کرنش کاهش می‌یابند و در این دما شاهد حساسیت منفی به آهنگ کرنش هستیم. تغییرات پارامترهای معادله‌ی هولمن در این

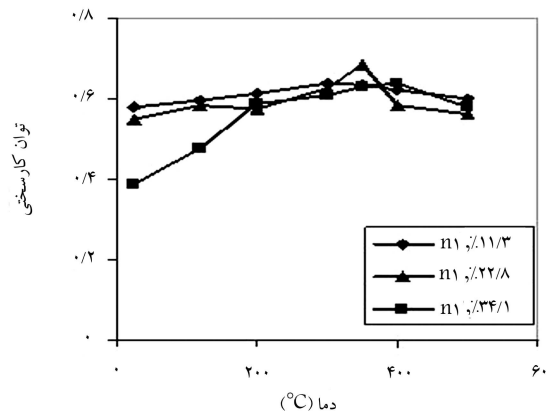
نرم شدن در دماهای بالا باعث کاهش میزان این کرنش شده است. در درصدهای بالای فاز فربت، کم‌بودن انعطاف‌پذیری در محدوده‌ی دماهای متوسط با پدیده‌ی پیکرکرنشی دینامیکی ارتباط دارد.<sup>[۲۰، ۱۹]</sup>

### تأثیر دما بر توان کارسختی و ضریب استحکام

تغییرات پارامترهای معادله‌ی هولمن در مراحل مختلف کارسختی بر اثر افزایش دما در شکل‌های ۶ تا ۹ نشان داده شده است. مشاهده می‌شود که این پارامترها با افزایش دما تا حدود دمای ۳۵۰ درجه سانتی‌گراد افزایش و سپس کاهش می‌یابد. این رفتار فولاد مورد بررسی در محدوده‌ی دماهای متوسط به عنوان یکی از شانه‌های پیکرکرنشی دینامیکی شناخته شده است.<sup>[۲۱، ۱۸]</sup> تسلیم دندانه‌دار باعث افزایش آهنگ کارسختی، حساسیت منفی به آهنگ کرنش، و استگی تنش‌های جریان به دما، و کاهش انعطاف‌پذیری می‌شود. این امر ناشی از برهم‌کنش بین ناجایی‌ها با عناصر محلول بین‌نشین کربن و نیتروژن در حین تغییر شکل در محدوده‌ی دماهای پیکرکرنشی است. در سایر دماها تغییرات کارسختی تحت تأثیر سازوکارهای نرم شدن فعال در حین تغییر شکل (لغزش متقاطع، سرش فصل مشترک و بازیابی) است.



شکل ۶. تأثیر دما بر ضریب استحکام در مرحله‌ی اول کارسختی در درصدهای حجمی مختلف فربت.

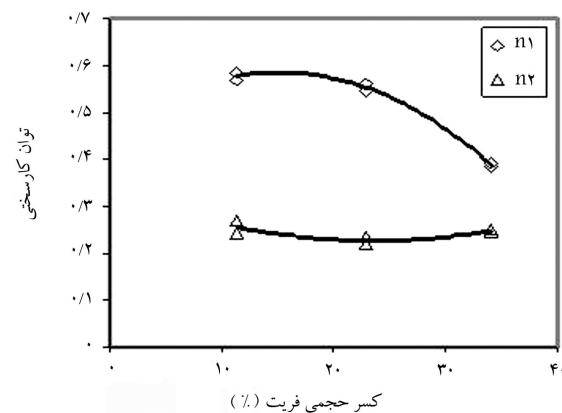


شکل ۷. تأثیر دما بر توان کارسختی در مرحله‌ی اول کارسختی در درصدهای حجمی مختلف فربت.

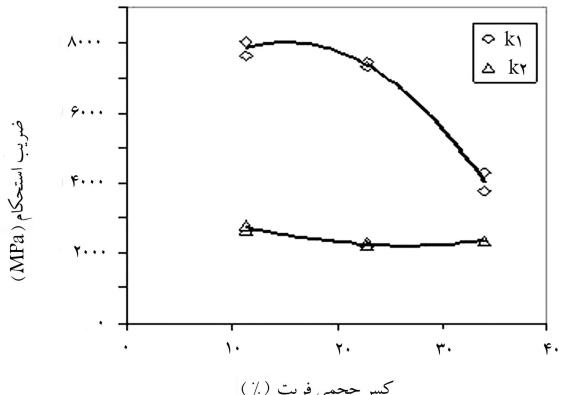
تمرکز تنش همزمان با فاز فریت تغییر شکل می‌دهند. با افزایش کسر حجمی فریت یا عبارت دیگر پیوستگی فاز فریت تغییر شکل بینایت در مرحله‌ی دوم رخ می‌دهد.

ب) در درصدهای حجمی کم فریت، هر دو فاز هم‌زمان در مرحله‌ی دوم کارسختی، تغییر فرم همگن می‌دهند. در مرحله‌ی دوم فرایندهای دو فازی کارسختی شدید فریت و تغییر شکل ناهمگن اندک بینایت اتفاق می‌افتد. همچنین تبدیل استنتیت باقی‌مانده به مارتنتزیت و بازیابی دینامیکی در این مرحله رخ می‌دهد. برخی مشاهدات تجربی این فرضیات را تأیید می‌کنند:

اولاً شیب منحنی تنش-کرشن، در مقیاس لگاریتمی، در مرحله‌ی اول با افزایش کسر حجمی بینایت زیاد می‌شود. به عبارتی هر قدر کسر حجمی بینایت زیاد باشد، به دلیل مشکل شدن حرکت نابجایی، توان کارسختی بیشتر می‌شود.  
 ثانیاً توان کارسختی در مرحله‌ی دوم تقریباً مستقل از کسر حجمی فریت است و در این مرحله سازوکارهای کارسختی کارسختی - از جمله بازیابی دینامیکی - و سازوکارهای افزاینده کارسختی - از جمله تبدیل استنتیت به مارتنتزیت - عمل می‌کنند. توان کارسختی مرحله‌ی دوم در دماهای بالاتر، در کسر حجمی فریت ۲۲/۸ درصد مقدار کمتری نسبت به درصد حجمی فریت ۳۴/۱ درصد نشان می‌دهد (شکل ۹). این نشان می‌دهد که در درصدهای حجمی بیشتر یا بینایت تغییر شکل



شکل ۱۰. تأثیر کسر حجمی فریت بر توان کارسختی مراحل مختلف کارسختی در دمای اتاق.



شکل ۱۱. تأثیر کسر حجمی فریت بر ضریب استحکام مراحل مختلف کارسختی در دمای اتاق.

جدول ۲. تغییر رفتار جریان با آهنگ کرنش در سه دمای مختلف برای فولاد دوفازی حاوی ۳۴٪ فریت (K بر حسب MPa است).

آهنگ کرنش (sec⁻¹)	۱/۳ × ۱۰⁻۳	۴/۶ × ۱۰⁻۴	۹/۲ × ۱۰⁻۵	(۱/sec)
T = ۱۰۰ °C				
n₁	۰,۵۱	۰,۴۸۳	۰,۴۷۱	
k₁	۵۸۸۶	۵۴۳۵	۴۹۰۰	
n₂	۰,۲۶۹	۰,۲۵۱	۰,۲۳۸	
k₂	۲۳۳۶	۲۱۴۷	۲۰۰۵	
T = ۳۵ °C				
n₁	۰,۶۲۱	۰,۶۴۹	۰,۶۸۲	
k₁	۸۸۵۶	۹۰۰۶	۹۴۵۰	
n₂	۰,۳۲	۰,۳۳	۰,۳۵۱	
k₂	۲۸۲۷	۲۹۵۰	۲۹۸۰	
T = ۵۰ °C				
n₁	۰,۶۱	۰,۵۷۵	۰,۵۶	
k₁	۸۶۷۵	۸۳۸۰	۸۳۵۰	
n₂	۰,۳۳	۰,۳۱۵	۰,۲۹۴	
k₂	۲۵۶۷	۲۳۹۳	۲۱۱۰	

دما با اثر پیرکرنشی دینامیکی در ارتباط است. این پدیده اغلب به برهم‌کنش‌های دینامیک میان نابجایی‌های متحرک و اتم‌های محلول مربوط می‌شود [۲۰]. گزارش شده است که پیرکرنشی دینامیکی باعث افزایش آهنگ تولید نابجایی‌ها و تأثیر در بازیابی ساختار آنها در بسیاری از آلیاژها می‌شود [۲۱].

## تأثیر کسر حجمی فریت بر توان کارسختی و ضریب استحکام

نتایج حاصل از آزمایشات نشان‌گر وجود دو مرحله‌ی کارسختی برای فولاد دوفازی فریتی- بینایتی حاوی کسر حجمی فریت کمتر از ۳۴ درصد است (شکل ۳). این منحنی‌ها نشان می‌دهند که تنش جریان فولادهای دوفازی از استفاده از کارسختی دوم مرحله‌ی قابل توصیف است. دو مرحله‌ی مشاهده شده ممکن است ناشی از سازوکارهای مختلف کارسختی به همراه توزیع ظرفی فاز نرم فریت است.

همان‌طور که در شکل‌های ۱۰ و ۱۱ مشاهده می‌شود در دمای اتاق و محدوده‌ی کسر حجمی فریت بینایتی توان کارسختی و ضریب استحکام در مرحله‌ی اول کارسختی با افزایش کسر حجمی فریت کاهش می‌یابد. نزوهه تغییرات این پارامترها با افزایش مقدار فاز نرم فریت در مرحله‌ی دوم متفاوت است. در این مرحله تغییرات توان کارسختی با کسر حجمی فریت ناچیز است. با توجه به این نتایج می‌توان سازوکارهای تغییر شکل در مراحل مختلف را چنین پیش‌بینی کرد:

الف) در مرحله‌ی اول و در درصدهای حجمی کم فریت، تغییر شکل فریت همگن اما تغییر شکل بینایت به صورت ناهمگن رخ می‌دهد. به علاوه در درصدهای کم فریت، قسمت‌هایی از فاز بینایت که در مجاورت فریت نرم قرار دارند به خاطر

## نتیجه‌گیری

بر اساس کارهای تجربی و تحلیل‌های بیان شده در این مقاله می‌توان نتیجه گرفت:

## پانوشت

1. cup drawing.
2. etch

## منابع

1. J.H. Hollomon. Tensile deformation. Trans AIME ;**162**: 268–90 (1945).
2. P. Ludwik, Elemente der Technologischen Mechanik, Leipzig:Springer; p. 32 (1909).
3. H.W. Swift. J Mech Phys Solids ; 1:1–18 (1952).
4. S.N. Monteiro and R.E. Reed-Hill, Metal. Trans. 4, 1011–1015 (1973).
5. S..J. Green, J.J. Langen, J.D. Leasia and W.H. Yang, Metall. Trans.2,1813-1820 (1971).
6. H. Buhler and H W. Wagener Z. Metallk. 58,136–44 (1967).
7. J. Datsko .Material Properties and Manufacturing Processes (New York: wiley) (1966).
8. J.M. Fitzpatrick and J. Mater. 3 977–82 (1968).
9. D.J. Drobnjak and J.G. Parr Metall. Trans. 1 759–65 (1970).
10. D. Lee . Metall. Trans. 1 1607–16 (1970).
11. C.M. Sellars and W.J. Tegart, McG . Int. Metall. Rev. **17**,1–24 (1972).
12. L.F. Ramos, D.K. Matlock, G. Krauss: Metall. Trans. A, 10A.PP.259-261 (1979).
13. Z.Hiang, Z.Guan, and J.Lian: J. Mater. Sci., **28**. p. 1814 (1993).
14. R.G. Davies: Metall. Trans. A, **9A**, pp. 671-79 (1978).
15. Thomas Hoper. Shigeru Endo, Nobuyuki Ishikawa and Koichi Osawa, ISIJ International, **39** , (3), pp. 288-294 (1999).
16. F.H. Samuel: Mater. Sci.Eng., **92**, pp. L1-L4 (1987).
17. G.R. Speich and R.I. Miller: in Structure and Properties of Dual Phase Steels, R.A.Kot and J.W. Morries, eds., AIME, New York, NY, p.145 (1979).
18. F.M. Al-Abbasi and James A. Nemes, Computational Materials Science, In Press (2006).
19. A. Ekrami, Materials Letters, **59**, Issue 16, pp. 2070-2074 (2005).
20. E. Isaac Samuel, B.K. Choudhary and K. Bhanu Sankara Rao , Scripta Materialia, **46**, Issue 7, pp. 507-512 (2002).

21. P. Rodriguez, *Bulletin of Materials Science*, **6**, (4), p. 653 (1984).
22. P. Rodriguez *Bull. Mater. Sci.* **6**, 653 (1984).
23. P.P. Data and K.A. Padmanabhan *J. Mater. Process Technol.* **112**, p.68 (2001).
24. A.S. Keh, Y. Nakada and W.C. Leslie, "Dynamic strain aging in iron and steel" in *Dislocation Dynamics*, McGraw-Hill, p. 381 (1968).
25. I.A. El-Sesy a, Z.M. El-Baradie , *Materials Letters* **57**, 580-585 (2002).
26. T. Furukawa, H. Murikawa, H. Tukechi, in: R.A. Kot, J.W. Morris (Eds.), *Structure and Properties of Dual-Phase Steels*, AIME, New York, , pp. 281-303 (1979).
27. G.R. Speich, *Fundamentals of Dual-Phase Steels*, TMS-AIME, New York, pp. 30-45 (1981).

